

# Extraction automatique d'informations environnementales à partir d'articles scientifiques

Thibault Schneeberger  
QARMA, LIS

Valentin Emiya  
QARMA, LIS  
valentin.emiya@lis.fr

Constance Douwes  
QARMA, LIS  
constance.douwes@lis.fr

thibault.schneeberger@proton.me

## 001 1 Introduction et état de l'art

002 L'essor des modèles d'apprentissage profond  
003 à grande échelle a engendré une préoccupation  
004 croissante quant à leur impact environnemental.  
005 Dès 2019, Strubell et al. (2019) ont attiré  
006 l'attention de la communauté du traitement  
007 automatique des langues en quantifiant  
008 les coûts financiers et environnementaux de  
009 l'entraînement de modèles comme BERT et  
010 Transformer, révélant des empreintes carbone  
011 comparables à celles de vols transatlantiques.

012 Depuis, plusieurs travaux ont affiné ces es-  
013 timations. Patterson et al. (2021) ont analysé  
014 l'énergie consommée par des modèles majeurs  
015 (T5, GPT-3, Switch Transformer) et montré  
016 que le choix du centre de données, de la lo-  
017 calisation géographique et du matériel peut  
018 réduire l'empreinte carbone d'un facteur 100  
019 à 1000. Luccioni et al. (2023) ont proposé  
020 une méthodologie complète pour estimer l'em-  
021 preinte carbone du modèle BLOOM (176 mil-  
022 liards de paramètres) sur l'ensemble de son  
023 cycle de vie, de la fabrication du matériel au  
024 déploiement, aboutissant à une estimation de  
025 25 à 50 tonnes de CO<sub>2</sub>eq.

026 Malgré ces avancées méthodologiques, les in-  
027 formations relatives à l'impact environnemental  
028 restent dispersées dans les articles sci-  
029 entifiques et difficiles à collecter systématique-  
030 ment. Certaines bases de données ont été  
031 constituées manuellement : Epoch.ai (Epoch  
032 AI, 2025) recense plus de 3000 modèles no-  
033 tables avec leurs caractéristiques techniques  
034 (nombre de paramètres, puissance de calcul,  
035 matériel), tandis que GreenMIR (Kaila and  
036 Holzapfel, 2024) catalogue la présence d'in-  
037 formations environnementales dans les publica-  
038 tions du domaine audio (ISMIR). Cependant,  
039 ces efforts manuels ne permettent pas de suivre  
040 l'ensemble des modèles publiés de façon ex-

haustive et pérenne.

041 L'objectif de ce projet est d'automatiser  
042 l'extraction d'informations liées à l'impact en-  
043 vironnemental des modèles d'apprentissage au-  
044 tomatique directement à partir des articles  
045 scientifiques. Les approches d'extraction d'in-  
046 formation ont été largement étudiées (Abdul-  
047 lah et al., 2023), et les méthodes génératives  
048 basées sur des grands modèles de langage  
049 (LLM) se révèlent actuellement les plus per-  
050 formantes (Zhang et al., 2025), surpassant les  
051 approches extractives classiques de type BERT  
052 (Gardazi et al., 2025).

053 Nous présentons dans ce rapport un système  
054 d'extraction automatique, ainsi qu'une évalua-  
055 tion permettant de mesurer la qualité des ex-  
056 tractions par rapport aux données de référence  
057 d'Epoch.ai et GreenMIR.

## 059 2 Approches Préliminaires

060 Avant d'aboutir à l'architecture finale, nous  
061 avons exploré qualitativement plusieurs ap-  
062 proches d'extraction d'information.

063 **Expressions régulières.** La première ap-  
064 proche a été l'utilisation d'expressions régu-  
065 lières pour capturer des motifs numériques et  
066 textuels. Pour des raisons évidentes de com-  
067 plexité et de robustesse face à la variabilité des  
068 formulations scientifiques, cette méthode a été  
069 rapidement abandonnée.

070 **Modèles extractifs.** Nous avons testé un  
071 modèle RoBERTa réentraîné sur SQuAD v2,  
072 où la description de l'information à extraire  
073 était fournie en question et le modèle re-  
074 tournait un extrait de texte. L'avantage ma-  
075 jeur est l'absence d'hallucination puisque le  
076 texte extrait provient directement du docu-  
077 ment. Cependant, même avec des modèles à  
078 grand contexte, il était difficile de faire cor-  
079 respondre les informations entre plusieurs sec-

080	tions du texte, le contexte se limitant souvent à un ou deux paragraphes (voir annexe A).	126
081		127
082	<b>Génération augmentée par récupération.</b>	128
083	Nous avons réalisé quelques tests avec des systèmes de type RAG. L'information étant parfois diffuse dans le texte, il était difficile de discriminer les passages pertinents pour la récupération.	129
084		130
085		131
086		132
087		133
088	<b>Grands modèles de langage sur GPU local.</b> Nous avons testé des LLM en mode sans exemples préalables sur le cluster GPU, équipé de cartes NVIDIA A100 de 40 à 48 Go. La mémoire requise croît de façon quadratique avec la taille du contexte. Dans notre cas, le contexte est l'intégralité du texte du papier scientifique, soit plusieurs dizaines de milliers de tokens. Les modèles comme Mistral ou Llama étaient inaccessibles à cette échelle en raison de leur taille trop élevée. Nous avons testé Gemma 3 E4B et GPT-OSS 20B via Ollama et la bibliothèque Transformers, mais les résultats n'étaient pas satisfaisants en raison d'hallucinations fréquentes.	134
089		135
090		136
091		137
092		138
093		139
094		140
095		141
096		142
097		
098		
099		
100		
101		
102		
103	<b>API Gemini 2.5 Flash.</b> Nous nous sommes finalement tournés vers l'API Gemini 2.5 Flash, qui offre un contexte suffisamment grand, jusqu'à un million de tokens, et des performances supérieures à toutes les approches précédentes.	143
104		144
105		145
106		146
107		147
108		148
109	<b>3 Architecture et Méthodologie</b>	149
110		150
111		151
112	Le système d'extraction se décompose en trois étapes principales : la préparation des données, l'extraction par modèle de langage, et l'évaluation des résultats.	152
113		153
114	<b>3.1 Préparation des données</b>	154
115		155
116		156
117		157
118	La première étape consiste à constituer une base de données SQLite à partir des jeux de données de référence. Pour chaque papier, nous récupérons le document PDF depuis son URL, puis en extrayons le texte brut. Les informations sont organisées en plusieurs tables :	
119		
120		
121	• <b>paper_info</b> : métadonnées du papier, incluant le lien vers le PDF	158
122		159
123	• <b>paper_document</b> : contenu binaire du PDF téléchargé	160
124		161
125	• <b>paper_text</b> : texte extrait du document	
	• <b>model_info</b> : informations de référence sur les modèles, servant de vérité terrain	
	Deux tables de référence sont également constituées : une table des pays avec leur intensité carbone en gCO <sub>2</sub> /kWh, et une table du matériel avec sa puissance de calcul et sa consommation (voir annexe B pour le schéma complet).	
	<b>3.2 Stratégie d'extraction</b>	
	L'extraction se déroule en deux phases. Dans un premier temps, le modèle de langage reçoit le texte intégral du papier et doit énumérer tous les modèles mentionnés. La réponse attendue est une liste Python de noms de modèles.	
	Dans un second temps, pour chaque modèle identifié, une série de questions est posée afin d'extraire les attributs suivants :	
	• Nombre de paramètres	
	• Type de matériel utilisé pour l'entraînement	
	• Nombre d'unités matérielles	
	• Durée d'entraînement en heures	
	• Puissance de calcul totale en FLOP	
	• Pays d'entraînement	
	• Année de publication	
	• Émissions de CO <sub>2</sub> équivalent	
	Pour chaque question, le modèle doit retourner une liste contenant deux éléments : la valeur extraite et une citation du passage source justifiant cette réponse. Cette structure permet de tracer l'origine de chaque information et de détecter d'éventuelles hallucinations.	
	<b>3.3 Évaluation</b>	
	L'évaluation compare les informations extraites aux données de référence en deux phases.	
	<b>Appariement des entités.</b> Les modèles inférés sont d'abord appariés aux modèles de référence par similarité de nom, en utilisant la distance de Jaro-Winkler. Cet appariement permet de distinguer trois cas : les modèles correctement détectés, les modèles manqués et les modèles hallucinés.	

**Notation des champs.** Pour chaque paire de papiers et paire appariée de modèles, une distance est calculée par champ selon sa nature, de façon à ce qu'elle soit comprise entre 0 et 1 :

- **Valeurs numériques** : erreur relative symétrique, définie par :

$$\frac{|v_{inf} - v_{ref}|}{\max(|v_{inf}|, |v_{ref}|)}$$

- **Identifiants** : correspondance binaire, définie par :

$$\begin{cases} 1 & \text{si } v_{inf} = v_{ref} \\ 0 & \text{sinon} \end{cases}$$

- **Chaines de caractères** : Jaro-Winkler agnostique à l'ordre des mots.
- **Année** : erreur absolue normalisée sur 5 ans, définie par :

$$\frac{|v_{inf} - v_{ref}|}{5}$$

Ces distances sont ensuite agrégées pour calculer des métriques de précision et rappel souples, prenant en compte à la fois la qualité de l'extraction et les pénalités pour les modèles hallucinés.

## 4 Expérimentations et Résultats

Deux expériences ont été réalisées pour évaluer le système d'extraction.

### 4.1 Protocole expérimental

**GreenMIR.** La première expérience porte sur l'intégralité du jeu de données GreenMIR, soit environ 110 papiers issus de la conférence ISMIR. Ce jeu de données est centré sur les modèles de traitement audio et musical, avec un accent particulier sur la documentation de l'impact environnemental.

**Epoch.ai.** La seconde expérience porte sur un sous-ensemble du jeu de données Epoch.ai. Le jeu complet contenant plus de 3000 modèles, son traitement intégral aurait nécessité un nombre de jetons trop important. Nous avons donc sélectionné un échantillon représentatif de papiers accessibles via ArXiv.

## 4.2 Métriques d'évaluation

L'évaluation repose sur deux niveaux de granularité : l'appariement des entités et la qualité d'extraction des champs.

**Métriques d'appariement.** L'appariement permet de mesurer la capacité du système à détecter les bons modèles. Après appariement par similarité Jaro-Winkler, on distingue :

- **TP** : modèles de référence correctement appariés à un modèle inféré
- **FN** : modèles de référence non détectés (oublis)
- **FP** : modèles inférés sans correspondance (hallucinations)

Les métriques classiques sont alors calculées :

$$\text{Précision} = \frac{TP}{TP + FP} \quad (1)$$

$$\text{Rappel} = \frac{TP}{TP + FN} \quad (2)$$

$$F1 = \frac{2 \times \text{Précision} \times \text{Rappel}}{\text{Précision} + \text{Rappel}} \quad (3)$$

**Métriques de qualité des champs.** Pour chaque champ, on définit un score de similarité  $S = 1 - d$ , où  $d$  est la distance calculée selon le type de champ. On calcule ensuite des métriques souples qui prennent en compte la qualité des valeurs extraites :

$$\text{Précision alignée} = \frac{\sum_{i \in TP} S_i}{TP} \quad (4)$$

$$\text{Précision globale} = \frac{\sum_{i \in TP} S_i}{TP + FP} \quad (5)$$

$$\text{Rappel souple} = \frac{\sum_{i \in TP} S_i}{TP + FN} \quad (6)$$

La précision globale pénalise les hallucinations en les comptant comme des erreurs totales dans le dénominateur. Le score F1 souple global est la moyenne harmonique de la précision globale et du rappel souple :

$$F1 \text{ souple} = \frac{2 \times \text{Précision globale} \times \text{Rappel souple}}{\text{Précision globale} + \text{Rappel souple}} \quad (7)$$

### 4.3 Résultats

**Appariement des modèles.** Le tableau 1 présente les métriques d'appariement pour les deux jeux de données.

<b>Dataset</b>	<b>P</b>	<b>R</b>	<b>F1</b>
GreenMIR	0.XX	0.XX	0.XX
Epoch.ai	0.XX	0.XX	0.XX

## 5 Discussion et Limitations

256

## 6 Conclusion

257

TABLE 1 – Métriques d'appariement des entités  
(P : précision, R : rappel).

**Qualité d'extraction par champ.** Les tableaux 2 et 3 détaillent les métriques souples pour chaque attribut.

<b>Champ</b>	<b>P<sub>a</sub></b>	<b>P<sub>g</sub></b>	<b>R<sub>s</sub></b>	<b>F1<sub>s</sub></b>
Paramètres	0.XX	0.XX	0.XX	0.XX
Matériel	0.XX	0.XX	0.XX	0.XX
Nb. unités	0.XX	0.XX	0.XX	0.XX
Durée entr.	0.XX	0.XX	0.XX	0.XX
Compute	0.XX	0.XX	0.XX	0.XX
Pays	0.XX	0.XX	0.XX	0.XX
Année	0.XX	0.XX	0.XX	0.XX
CO <sub>2</sub> eq	0.XX	0.XX	0.XX	0.XX
<b>Moy.</b>	0.XX	0.XX	0.XX	0.XX

TABLE 2 – Métriques par champ sur GreenMIR.  
P<sub>a</sub> : précision alignée, P<sub>g</sub> : précision globale, R<sub>s</sub> : rappel souple, F1<sub>s</sub> : F1 souple.

<b>Champ</b>	<b>P<sub>a</sub></b>	<b>P<sub>g</sub></b>	<b>R<sub>s</sub></b>	<b>F1<sub>s</sub></b>
Paramètres	0.XX	0.XX	0.XX	0.XX
Matériel	0.XX	0.XX	0.XX	0.XX
Nb. unités	0.XX	0.XX	0.XX	0.XX
Durée entr.	0.XX	0.XX	0.XX	0.XX
Compute	0.XX	0.XX	0.XX	0.XX
Pays	0.XX	0.XX	0.XX	0.XX
Année	0.XX	0.XX	0.XX	0.XX
CO <sub>2</sub> eq	0.XX	0.XX	0.XX	0.XX
<b>Moy.</b>	0.XX	0.XX	0.XX	0.XX

TABLE 3 – Métriques par champ sur Epoch.ai.

### 4.4 Analyse

Les attributs les plus faciles à extraire sont :

- L'année de publication, souvent présente dans les métadonnées
- Le nombre de paramètres, fréquemment mentionné dans le texte
- Le type de matériel, généralement indiqué explicitement

Les informations les plus difficiles à extraire sont :

- L'empreinte carbone, rarement reportée dans les articles
- Le pays d'entraînement, souvent non mentionné
- La durée d'entraînement exacte

## References

- M. H. A. Abdullah, N. Aziz, S. J. Abdulkadir, H. S. A. Alhussian, and N. Talpur. 2023. Systematic Literature Review of Information Extraction From Textual Data: Recent Methods, Applications, Trends, and Challenges. *IEEE Access*, 11 :10535–10562.
- Epoch AI. 2025. Data on AI Models. Accessed : 2025-12-13.
- N. M. Gardazi, A. Daud, M. K. Malik, A. Bukhari, T. Alsahfi, and B. Alshemaimri. 2025. BERT applications in natural language processing: a review. *Artificial Intelligence Review*, 58(166).
- Anna-Kristin Kaila and Andre Holzapfel. 2024. Green MIR data table 2024. International Society for Music Information Retrieval Conference (ISMIR), San Francisco, California, USA.
- A. S. Luccioni, S. Viguier, and A.-L. Ligozat. 2023. Estimating the Carbon Footprint of BLOOM, a 176B Parameter Language Model. *Journal of Machine Learning Research*, 24(253) :1–15.
- David Patterson, Joseph Gonzalez, Quoc Le, Chen Liang, Lluis-Miquel Munguia, Daniel Rothchild, David So, Maud Texier, and Jeff Dean. 2021. Carbon Emissions and Large Neural Network Training.
- Emma Strubell, Ananya Ganesh, and Andrew McCallum. 2019. Energy and Policy Considerations for Deep Learning in NLP. In *Proceedings of the 57th Annual Meeting of the Association for Computational Linguistics (ACL)*, pages 3645–3650.
- Z. Zhang, W. You, T. Wu, X. Wang, J. Li, and M. Zhang. 2025. A Survey of Generative Information Extraction. In *Proceedings of the 31st International Conference on Computational Linguistics (COLING)*, pages 4840–4870, Abu Dhabi, UAE.

## A Expérimentations avec RoBERTa

Avant d’adopter l’approche par grands modèles de langage, nous avons testé une approche extractive basée sur RoBERTa réentraîné sur SQuAD v2. Le principe consiste à parcourir l’article avec une fenêtre glissante et à récupérer les segments de texte les plus pertinents pour chaque question.

### Paramètres expérimentaux.

- Taille de fenêtre : 512 tokens
- Chevauchement : 128 tokens
- Longueur maximale de réponse : 20 tokens
- Nombre de candidats retenus : 10

**Visualisation par carte de chaleur.** Pour chaque token du document, nous avons calculé un score d’attention indiquant sa pertinence par rapport à la question posée. La figure ci-dessous illustre un extrait de cette carte de chaleur sur le papier BLOOM (Luccioni et al., 2023), pour la question “*What is the name of the main machine learning model presented in this paper ?*”.

```
As reported in Table 1, training
the BLOOM model required a total
of 1.08 million GPU hours on a
hardware partition
constituted of Nvidia A100 SXM4
GPUs with 80GB of memory...
```

L’intensité de la couleur orange indique le score d’attention attribué par le modèle à chaque token. On observe que le mot “BLOOM” obtient le score maximal, ce qui est cohérent avec la question posée.

**Segments candidats.** Le tableau suivant présente les 10 meilleurs segments détectés :

Rang	Segment extrait	Score
1	Codecarbon	13.13
2	BLOOM	11.72
3	Open-access Multilingual Language Model	11.61
4	433,196 kWh	11.45
5	BLOOM model	10.71
6	1.08 million	10.82
7	TDP	10.60

TABLE 4 – Segments candidats détectés par RoBERTa pour la question sur le nom du modèle.

332      **Limitations observées.** Bien que les segments pertinents soient correctement identifiés, plusieurs problèmes limitent l'utilisabilité de cette approche :

- 336      • Les scores des bonnes réponses restent proches de ceux des mauvaises réponses, rendant la sélection automatique difficile.
- 337      • Le contexte limité à 512 tokens empêche de croiser des informations provenant de sections éloignées du document.
- 338      • Le modèle ne peut pas effectuer de raisonnement ou de calcul, contrairement aux LLM génératifs.

345      Ces limitations nous ont conduits à privilégier l'approche par grands modèles de langage décrite dans ce rapport.

## 348      B Schéma de la base de données

349      La figure 1 présente le schéma relationnel  
350      de la base de données utilisée pour stocker les  
351      informations extraites.

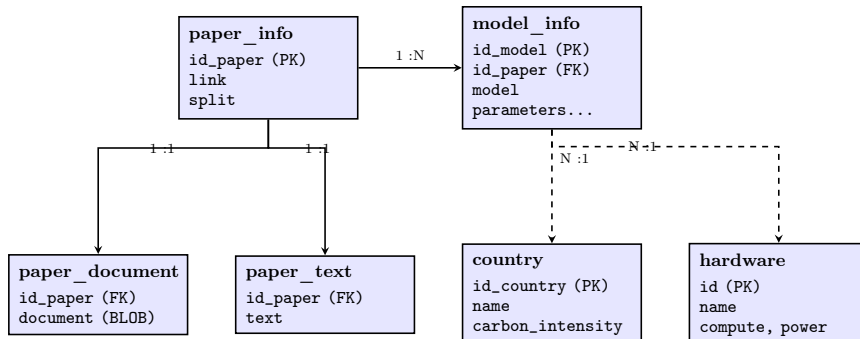


FIGURE 1 – Schéma relationnel. Trait plein : clé étrangère directe. Trait pointillé : référence via table de lookup.

## 352      Tables principales.

- 353      • **paper\_info** : contient les métadonnées de chaque papier (lien, partition train/test)
- 354      • **model\_info** : contient les informations sur chaque modèle mentionné dans un papier (vérité terrain)
- 355      • **paper\_document** : stocke le contenu binaire du PDF téléchargé
- 356      • **paper\_text** : stocke le texte extrait du PDF

## Tables de référence.

- 363      • **country** : liste des pays avec leur intensité carbone (gCO<sub>2</sub>/kWh), source Our World in Data
- 364      • **hardware** : liste des GPU/TPU avec leur puissance de calcul (FLOP/s) et consommation (kW), source Epoch.ai

365  
366  
367  
368  
369